

**Zeitschrift:** Commentarii Mathematici Helvetici  
**Herausgeber:** Schweizerische Mathematische Gesellschaft  
**Band:** 10 (1937-1938)

**Artikel:** Vielflache mit Doppelstrecken, aus Prismen.  
**Autor:** Merz, K.  
**DOI:** <https://doi.org/10.5169/seals-11001>

#### Nutzungsbedingungen

Die ETH-Bibliothek ist die Anbieterin der digitalisierten Zeitschriften auf E-Periodica. Sie besitzt keine Urheberrechte an den Zeitschriften und ist nicht verantwortlich für deren Inhalte. Die Rechte liegen in der Regel bei den Herausgebern beziehungsweise den externen Rechteinhabern. Das Veröffentlichen von Bildern in Print- und Online-Publikationen sowie auf Social Media-Kanälen oder Webseiten ist nur mit vorheriger Genehmigung der Rechteinhaber erlaubt. [Mehr erfahren](#)

#### Conditions d'utilisation

L'ETH Library est le fournisseur des revues numérisées. Elle ne détient aucun droit d'auteur sur les revues et n'est pas responsable de leur contenu. En règle générale, les droits sont détenus par les éditeurs ou les détenteurs de droits externes. La reproduction d'images dans des publications imprimées ou en ligne ainsi que sur des canaux de médias sociaux ou des sites web n'est autorisée qu'avec l'accord préalable des détenteurs des droits. [En savoir plus](#)

#### Terms of use

The ETH Library is the provider of the digitised journals. It does not own any copyrights to the journals and is not responsible for their content. The rights usually lie with the publishers or the external rights holders. Publishing images in print and online publications, as well as on social media channels or websites, is only permitted with the prior consent of the rights holders. [Find out more](#)

**Download PDF:** 16.02.2026

**ETH-Bibliothek Zürich, E-Periodica, <https://www.e-periodica.ch>**

# Vielflache mit Doppelstrecken, aus Prismen

Von K. MERZ, Chur

Durch Zerlegung von Prismen mittelst Schnittebenen werden ein- und zweiseitige Polyeder mit Doppelstrecken erhalten. Bei zunehmender Flächenzahl führen sie zu einem eigenartigen Grenzfall. Die Konstruktion sei vorerst an einem Würfel ausgeführt.

## 1. Würfel zerlegt in ein einseitiges 14 Flach und ein zweiseitiges 12 Flach.

Durch die vier Kanten einer Würfelseite als Grundfläche seien die vier Schnittebenen durch die Würfelmitte gelegt. Damit entstehen sechs Doppelstrecken, nämlich die vier Würfeldiagonalen und die zwei Verbindungsstrecken der Mitten von je zwei gegenüberliegenden Seitenflächen. Die Achsenschnitte in den vier Schnittebenen sind Rechtecke; in jedem davon sind drei Doppelstrecken, nämlich die beiden Diagonalen und die Mittelparallele zu den kürzeren Rechteckseiten. Der Würfel wird so in 14 Teile zerlegt, die alle vom Schnittpunkt 0 der Doppelstrecken ausgehen. Davon bilden sechs Scheitelteile das einseitige 14 Flach und die übrigen acht das zweiseitige 12 Flach. Scheitelteile stoßen nur in Doppelstrecken zusammen und ihre äußeren Flächen auf dem Würfel nur in Ecken. Am 14 Flach sind zwischen den sechs Körperteilen acht Lücken, am 12 Flach sind deren sechs.

Zur Herstellung der Netze wurde aus jedem Rechteck der vier Achsen schnitte an dessen Länge ein Viertel herausgeschnitten längs Diagonalen und noch halbiert in rechtwinklige Dreiecke, um beim Aufklappen die Durchdringungen der vier Achsenschnitte herstellen zu können. Doppelstrecken gehen von 0 aus.

Netz des 14 Flachs  
Möbiusbänder 1 — (1) , 2 — (2) , 3 — (3)

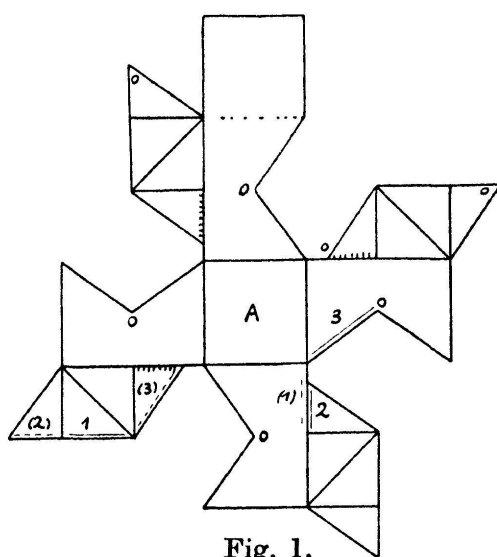
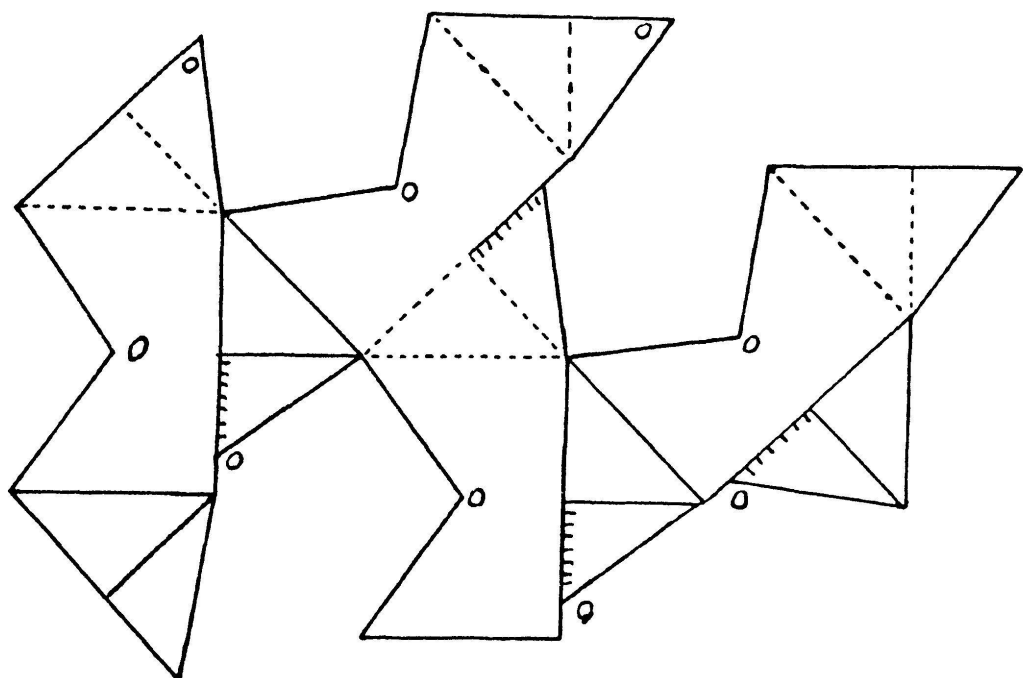


Fig. 1.

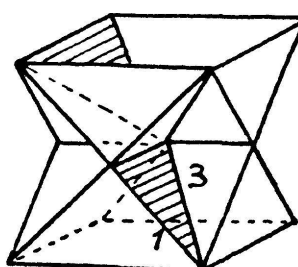
Um aus dem ersten Netz das *14 Flach* zu erhalten, sind alle Umklappungen, bis auf eine, nach der nämlichen Seite zu machen, nach unten. Man beginnt um die Grundfläche *A*, bis die nächsten drei 0 in einen Punkt fallen. *Möbiusbänder* schließen sich in den Wendestrecken 1, einer Kante, und in 2 und 3, halben Doppelstrecken, die zusammen ein Dreieck von 0 aus bilden, wie es viermal am *14 Flach* auftritt. Dieses hat Grund- und Deckfläche des Würfels mit zwei Pyramiden nach 0, zwischen denen sich die vier Teile an den Seitenkanten einfügen mit je zwei Dreiecken als äußere Flächen. Damit sind zehn Flächen vom Würfel vorhanden, zu denen noch die vier Achsenschnitte kommen:  $f = 14$ ,  $e = 12$ ,  $k = 28$ ,  $c = e - k + f = -2$ .

Dem *12 Flach*, das zweiseitig wird, fehlen Grund- und Deckfläche, statt dessen sind zwei einspringende Pyramiden als Lücken, zu denen noch vier an den Seitenkanten kommen. Das Netz war schwieriger zu bilden und es ist weniger übersichtlich als im vorigen Fall. Die Aufklappungen haben um die punktierten Kanten entgegen wie um die ausgezogenen zu erfolgen. Die acht Körperteile zeigen abwechselnd ent-

Netz des *12 Flachs*



*12 Flach*  $F_2 \quad n = 4$



(Wendestrecken  
des *14 Flachs*)

Fig. 2.

gegengesetzte Seiten des Netzes, und doch bilden sich keine Möbiusbänder, weil beim fortgesetzten Aufklappen jedesmal gleiche Seiten gegeneinander kommen.  $f = 12$   $e = 12$   $k = 24$   $c = 0$ .

2. Zerlegung eines sechsseitigen Prismas in ein einseitiges 32 Flach und ein zweiseitiges 24 Flach. Das Prisma sei senkrecht über regelmäßiger Grundfläche.

Die sechs Schnittebenen werden je durch zwei gegenüberliegende parallele Kanten von Grund- und Deckfläche gelegt, wodurch 15 Doppel-

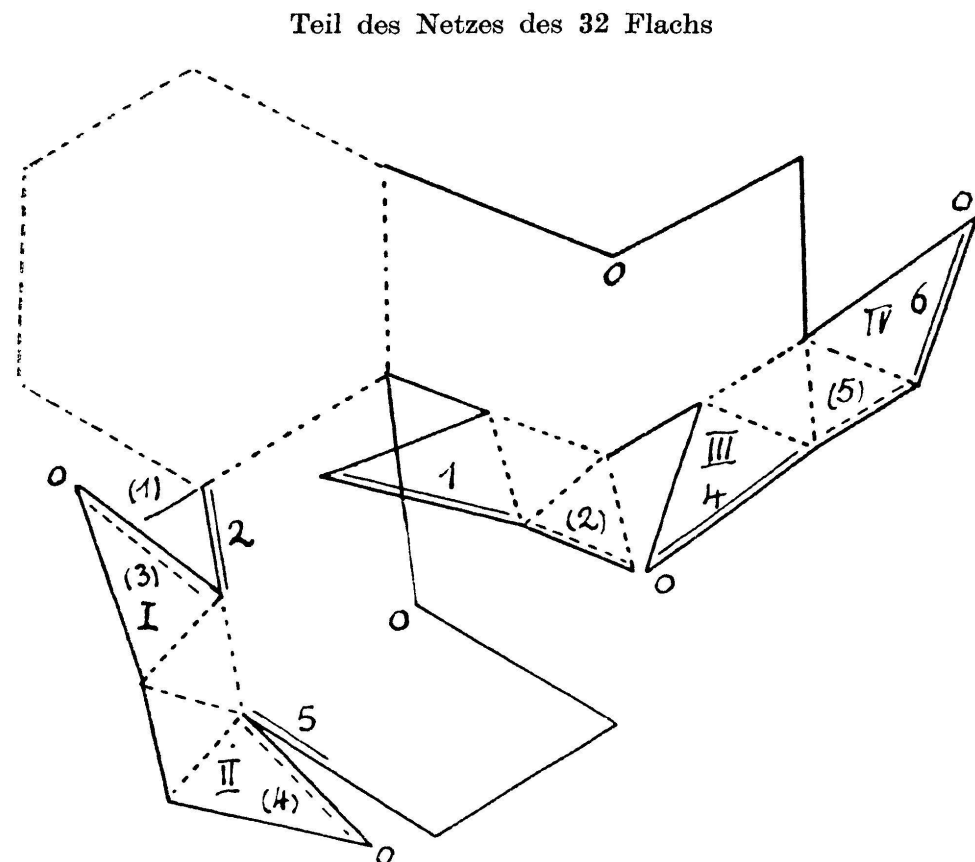


Fig. 3.

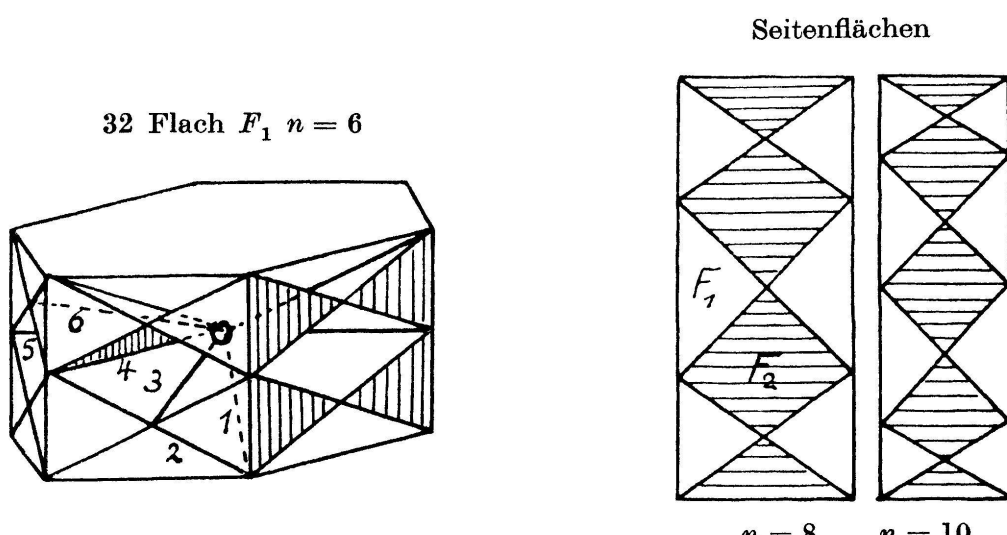


Fig. 4.

strecken entstehen, von denen sechs von der Mitte 0 des Prismas nach dessen Ecken gehen; weitere drei verbinden die Mitten von seitlichen Gegenkanten und noch sechs gehen geneigt nach den Mittellinien zwischen benachbarten Seitenkanten. Das Prisma wird damit in 32 Zellen geteilt, von denen 14 das 32 Flach bilden und 18 das 24 Flach.

Die Achsenschnitte sind Sechsecke mit je fünf Doppelstrecken. Ein Ausschnitt daraus, in vier Dreiecke I bis IV zerlegt, ermöglicht die Bildung der Durchdringungen bei der Aufklappung. Das *Netz* des 32 *Flachs* lässt sich um die Grundfläche regelmäßig anordnen, weshalb nur ein Teil des Netzes gezeichnet ist. Teile der Dreiecke I bis IV überdecken am Netz. Nach der Aufklappung bilden die Wendestrecken in jedem Sechstel zwei Dreiecke 1, 2, 3 und 4, 5, 6 von 0 aus mit zwei Hälften von Doppelstrecken und einer seitlichen Verbindungskante an Dreiecken der Seitenflächen. Das zweiseitige 24 *Flach* hat pyramidenförmige Trichter als Lücken statt Grund- und Deckfläche, und in der Mitte der Seitenflächen eine Raute zwischen Dreiecken oben und unten, wie die Lücken am 32 Flach.

3. *Verallgemeinerung* für ein  $n$  seitiges Prisma  $F$  von gerader Seitenzahl. Auf jeder seiner Seitenflächen entstehen durch die Spuren der Schnittebenen  $(n-2)$  Flächen für  $F_1$  und  $\frac{n}{2}$  Flächen für  $F_2$ . In folgender Tabelle sind die Zahlen der Elemente der erhaltenen Teilvielflache  $F_1$  und  $F_2$  zusammengestellt, samt der Doppelstrecken  $d$  und der Zellen  $z$ . Man erhält damit Vielflache großer *Zusammenhangszahl*  $h = 3 - c$ , worin  $c = e - k + f$  die Charakteristik ist, aus Anzahl  $e$  der Ecken,  $k$  der Kanten und  $f$  der Flächen.

$F_1$  einseitig                   $F_2$  zweiseitig

$t$	$n$	$f_1$	$e_1$	$k_1$	$c_1$	$f_2$	$e_2$	$k_2$	$c_2$	$d$	$z$	$z_1$	$z_2$	$h_1$	$h_2$	
2	4	14	12	28	— 2	12	12	24	—	0	6	14	6	8	5	3
3	6	32	30	72	— 10	24	30	60	—	6	15	32	14	18	13	9
4	8	58	56	136	— 22	40	56	112	— 16	28	58	26	32	25	19	
5	10	92	90	220	— 38	60	90	180	— 30	45	92	42	50	41	33	

Allgemein ergeben sich folgende Formeln zu geradem  $n = 2t$ , ( $t > 1$ ):

$$\begin{aligned} F_1: f_1 &= 2t(2t-1) + 2, \quad e_1 = 2t(2t-1), \quad k_1 = 2t(5t-3) \\ F_2: f_2 &= 2t(t+1), \quad e_2 = 2t(2t-1), \quad k_2 = 4t(2t-1) \end{aligned} \left\{ \begin{array}{l} k_1 - k_2 = 2t(t-1) \end{array} \right.$$

Doppelstrecken:  $d = t(2t-1)$ , Zellen:  $z = 2t(2t-1) + 2$  od.  $z = 2(d+1)$

Ecken eines Teilvielflachs:  $e_1 = e_2 = 2d$  (Endpunkte der  $d$ )

Zellen von  $F_1$ :

$$z_1 = t(2t-1) + 1 - (t-1) \text{ oder } z_1 = d - t + 2$$

Zellen von  $F_2$ :

$$z_2 = t(2t-1) + 1 + (t-1) \text{ oder } z_2 = d + t$$

$$\begin{aligned} \text{Charakteristik: } c_1 &= 2(1+t-t^2) \text{ oder } c_1 = 2 + t - d \\ c_2 &= 2t(2-t) \quad \text{oder } c_2 = 3t - d \end{aligned} \quad \left. \begin{array}{l} z_1 - z_2 = -2(t-1) \\ c_1 - c_2 = -2(t-1) \end{array} \right\}$$

also  $c_1 - c_2 = z_1 - z_2$

Zusammenhangszahlen:

$$\begin{aligned} h_1 &= 2t^2 - 2t + 1 \text{ oder } h_1 = d + 1 - t \\ h_2 &= 2t^2 - 4t + 3 \text{ oder } h_2 = d + 3 - 3t \end{aligned} \quad \left. \begin{array}{l} h_1 - h_2 = 2(t-1) \end{array} \right\}$$

oder durch die Lücken ( $z - z_1$ ) und ( $z - z_2$ ) angegeben:

$$h_1 = (z - z_1) - 2t + 1$$

$$h_2 = (z - z_2) - 2t + 1$$

Daraus ist  $h_1 - h_2 = (k_1 - k_2) : t$  gleich der doppelten Zahl der Abschnitte auf den parallelen Prismenkanten, die an  $F_1$  als Kanten auftreten, während sie an  $F_2$  in den Lücken fehlen. Schließlich ist  $h_1 - h_2 = -(z_1 - z_2)$ , d. h. die *Differenz* der Zusammenhangszahlen ist entgegengesetzt gleich der Differenz der Anzahl der Zellen von  $F_1$  und  $F_2$ , oder also gleich der Differenz ihrer Lücken.

4. Von besonderer Bedeutung ist der *Grenzfall* für  $\lim n = \infty$ . Die Prismen  $F$  gehen in einen Zylinder über, die Vielecke der Schnittebenen in Ellipsen, welche dessen Mantel in unendlich kleine Dreie- und Vier-ecke teilen, die abwechselnd zu  $F_1$  und  $F_2$  gehören, so daß die Flächen eines einzelnen Vielflachs die Zylinderfläche nicht dicht erfüllen. Ebenso ist der innerhalb liegende Körperteil nicht dicht, da nur die Zellen in Scheitellage einen der Körper zusammensetzen und die übrigen dazwischen als Lücken bleiben. Für  $F_1$  werden die beiden Kegel von den Grundflächen aus nach 0 dicht, nicht aber der übrige Teil im Innern des Zylinders, der von leeren Zellen durchstoßen ist, womit die unendlich großen Zusammenhangszahlen  $h_1$  und  $h_2$  von  $F_1$  und  $F_2$  ermöglicht werden; der Raum wird dadurch gleichsam gelockert. Das Volumen der Teilkörper des Zylinders bleibt begrenzt, während ihre Oberfläche durch die Zunahme der Schnittfiguren unbegrenzt wächst. Dies entspricht den Oberflächenvergrößerungen bei Entwicklungen der Gebilde der Natur aus deren Stoffen.

(Eingegangen den 24. Februar 1938.)